

Ark 470-810-01

HELGELAND VEGAVDELING

Rv 810 - UTBEDRING

Utforming av
vegfylling over
Holandsvika.

Sandvika, 19.02.85
1783/IMO

Rv 810 - UTBEDRING

UTFORMING AV VEGFYLLING OVER HOLANDSVIKA.

FOR Å OPPNÅ TILFREDSSTILLENDÉ STABILITET I ANLEGGSPERIODEN MÅ FYLLINGEN UTFØRES LAGVIS MED MOTFYLLING. MOTFYLLINGEN MÅ LEGGES UT TIL KT. + 2,0. FREM TIL PEL 9050 MÅ DEN VÆRE 5,0 m BRED, FOR DERETTER Å ØKE TIL 10,0 m I NORDENDEN AV HOLANDSVIKA.

DET VIL BLI BETYDELIGE SETNINGER PÅ VEGFYLLINGEN. DE VIL BLI STØRST I NORDENDEN, HVOR SETNINGEN OVER EN 25 ÅRS PERIODE VIL KOMME OPP I ca. 1,8 m.

VEGFYLLEN VIL IKKE REDUSERE STABILITETEN AV JERNBANEFYLLINGEN I VESENTLIG GRAD. DEN VIL KUNNE FØRE TIL UDETYDELIGE SETNINGER PÅ JERNBANEFYLLINGEN.

I forbindelse med utbedring av Riksveg 810 vil den nye vegen komme ut på en 200 m lang, og opp til 10 m høy, fylling over Holandsvika. Dette området består av silt til stort dyp.

Løsmassenes egenskaper er kartlagt ved laboratorieanalyser på opptatte prøvesylinger. Materialparametrene som er brukt i beregningene er bestemt fra disse analysene.

Anbefalt utfyllingsprosedyre vil gi en beregningsmessig sikkerhet på minst 1,2 i anleggsperioden. Sikkerheten vil øke med tiden.

Vegfyllingen skal legges ut i 4 lag á 2,5 m. tykkelse, og det må gå minst 30 dager mellom utleggingen av hvert lag. Det første laget skal legges ut med minst utfyllingshastighet. Stabilitetsberegningene viser at vegfyllingen må utføres med motfylling for å oppnå tilfredstillende stabilitet i anleggsperioden. Motfyllingen er en del av første utfyllingslag, og skal legges ut til kt. + 2,0. Fram til pel 9050 skal motfyllingens bredde være 5,0 m, og for deretter å øke jevnt til 10,0 m. ved nordenden av Holandsvika.

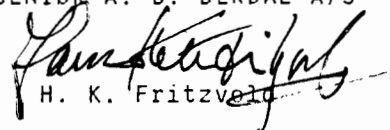
Det må regnes med betydelige setninger på fyllingen. I løpet av de første 25 år vil setningene komme opp i ca. 0,8 m. i nordenden og ca. 1,8 m. i sydenden av Holandsvika.

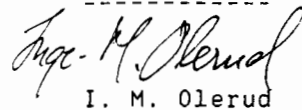
Vegfyllingens innvirkning på stabiliteten av jernbanefyllingen ligger innenfor beregningsmessig nøyaktighet. Den vil imidlertid gi jernbanefyllingen setninger som på det meste vil være 0,1 - 0,2 m. Dette antas å ikke ha skadelig innvirkning på driften av jernbanen idet vinkelendringen av jernbanefyllingen anslås til mindre enn 1:200.

Bakgrunnsmateriale, tegninger og detaljer i vurderingen følger som vedlegg.

Sandvika, 19. februar 1985.

INGENIØR A. B. BERDAL A/S


H. K. Fritzveit


I. M. Olerud

HELGELAND VEGAVDELING

Rv 810 - UTBEDRING

VEDLEGG

Geoteknisk rapport:	Side
1. INNLEDNING	1
2. GRUNNFORHOLD	1
2.1 Utførte grunnundersøkelser.	1
2.2 Utførte laboratorieundersøkelser.	1
2.3 Tolking av laboratorieundersøkelsene.	2
3. STABILITETSANALYSER.	3
3.1 Beregningsmetode.	4
3.2 Beregningsresultater.	4
3.3 Oppbygging og utlegging av vegfyllingen.	5
4. SETNINGSANALYSER.	6
4.1 Beregningsmetode.	6
4.2 Beregningsresultater.	6
5. KONKLUSJON	7

Bilag 1: Borplan

Bilag 2: Resultater av grunnundersøkelser

Bilag 3: Laboratoieresultater fra NOTEBY A/S

Bilag 4: Laboratoieresultater fra Ing. Chr. F. Grøner A/S

1. INNLEDNING

For Helgeland Vegavdeling har Ingeniør A. B. Berdal A/S fått i oppdrag å foreta ingeniørgeologisk vurdering og anbudsutarbeidelse for 3 vegtunneler i forbindelse med utbedring av Riksveg 810, mellom Mosjøen og Sandnessjøen. Rett syd for den midterste tunnelen som ligger ved Holand, kommer vejen ut på en 200 m lang fylling over Holandsvika. Dette er et tørrfallsområde som består av silt til stort dyp. Fyllingen blir opp til 10 m høy. Geoteknisk avdeling hos Ing. A. B. Berdal A/S er bedt om å vurdere denne fyllingens stabilitet, og angi anvisning for utførelse av fyllingsarbeidene.

Fjellanger Widerøe A/S har bestemt veglinjens geometri, og de har antydet fyllingen på tegning C3. Der er det vist en fylling uten motfyllinger. Stabilitetsberegnningene viser imidlertid at en slik utforming ikke er forsvarlig, men veggeometrien kan beholdes hvis fyllingen utføres med motfyllinger.

2. GRUNNFORHOLD

2.1 Utførte grunnundersøkelser.

Helgeland Vegavdeling har utført boringene i Holandsvika i egen regi. Massene har liten bæreevne, slik at det var problematisk å komme til med borrigg. Boringene måtte utføres på lavvann, og det var umulig å komme til på midten av fyllingsområdet uten å bruke flåte. Boringene er utført så langt ut det var mulig å komme fra begge sider, uten bruk av flåte. Boringene er utført i to omganger. I tillegg til boringene som er utført for den endelige tracé, er boringene fra et eldre alternativ tatt med.

I alt er det utført:

Gammel tracé : 3 stk. dreietrykksonderinger.
Endelig tracé: 8 stk. dreietrykksonderinger.
2 stk. 54 mm prøveseier.

Borpunktenes plassering er vist på den vedlagte borplanen, bilag 1. Resultatene av dreietrykksonderingene og rutineundersøkelsene fra prøveseriene er vist på de vedlagte lengde- og tverrprofiler, bilag 2.

2.2 Utførte laboratorieundersøkelser.

De to prøveseriene besto av ialt 14 sylinder. Av tidsmessige og praktiske årsaker ble analysene påbegynt ved geoteknisk laboratorium hos Ing. Chr. F. Grøner A/S. Borkortene viste at det var ren silt i Holandsvika. Det er svært vanskelig å få tilfredstilende resultater for stabilitetsanalyser fra rutineundersøkelsene på ren silt. Følgelig ble det holdt igjen tre prøvesylinder for eventuell triaksial-bestemmelse av materialparametrene. Prøvene som ble åpnet for rutineundersøkelsene ble tatt fra varierende dybder for å danne seg et best mulig bilde av massene. Etterhvert som prøvene ble åpnet viste det seg at rutineundersøkelsene ikke ga tilstrekkelig pålitelige resultater. Prøvene viste silt i hele prøvestrengens lengde, og det var store variasjoner i de målte skjærfasthetsverdier.

I samråd med Helgeland Vegavdeling ble det bestemt at det skulle

kjøres triaksialforsøk på de tre prøvene som var lagt av til dette formålet. Laboratoriet hos Ing. Chr. F. Grøner A/S har ikke slikt utstyr, og etter å ha undersøkt hvem som hadde ledig kapasitet for slike analyser, ble det bestemt at disse skulle utføres hos Noteby, Norsk Teknisk Byggekontroll A/S.

Tilsammen er følgende undersøkelser foretatt ved de forskjellige laboratoriene:

Ing. Chr. F. Grøner A/S:
11 stk. rutineundersøkelser
4 " falling drop

Noteby A/S:
3 stk. rutineundersøkelser
3 " hydrometeranalyser
2 " ødometerforsøk
2 " CAU triaksialforsøk
1 " Ck₀ U triaksialforsøk

De forskjellige forsøkene er nærmere forklart i neste kapittel, sammen med resultatene.

2.3 Tolking av laboratorieundersøkelsene.

Opptegning av alle laboratorieresultater er vist i vedlegg 2 til denne rapporten. De forskjellige analysene har gitt følgende parametere som resultat:

Rutineundersøkelsene:

Vanninnhold	w = 25,1 - 41,8 %
Tyngdetethet, våt	γ = 19,1 - 20,9 kN/m ³
Konusforsøk:	
- Uforstyrret skjærfasthet	s _u = 17,5 - 70,5 kPa
- Omrørt skjærfasthet	s _r = 3,5 - 31,0 kPa
- Sensitivitet	S _t = 2 - 13
Trykkforsøk:	
- Uforstyrret skjærfasthet	s _u = 25,0 - 41,0 kPa
- Aksial deformasjon	ε _f = 7,0 - 18,0 %
Humusforsøk	0 _{na} = 1,5 - 1,6 %
Glødetapsforsøk	0 _g = 0,7 - 1,0 %

Massen er klassifisert som silt med noe finsand, enkelte skjellrester og noe organisk materiale.

Tyngdetethet γ=20,0 kN/m³ er blitt benyttet i stabilitetsanalysene. Når det gjelder humusinnhold viser sannsynligvis glødetapsforsøkene de riktigste verdiene, da humusforsøkene med natronlут ikke viste tilfredstillende utfelling.

Tabellen viser stor variasjon i skjærfasthetsparametrerne. Ved en eventuell totalspenningsanalyse måtte disse parametrerne benyttes. På grunn av det store variasjonsområdet var det nødvendig å foreta triaksialforsøk for å få pålitelige materialparametre.

Falling drop og hydrometeranalyse:

Dette er to forskjellige måter å bestemme kornfordelingen i silt og leirfraksjonen. Noteby A/S har i tillegg våtsiktet materiale større enn 0,125 mm. Resultatet er i praksis det samme fra alle de 7 prøvene. Materialet kan klassifiseres som: Silt, finsandig.

Ødometerforsøk:

Ødometerforsøkene gir setningsparametrene til materialet. En 20 mm høy prøve belastes trinnvis, og deformasjonen avleses underveis. Forsøkene er utført med følgende lasttrinn:

12,5 - 25 - 37,5 - 50 - 75 - 100 - 150 - 200 - 300 - 500 - 800 kPa.

Deformasjonene er avlest for hvert lasttrinn etter:

0,125 - 0,25 - 0,5 - 1 - 2 - 4 - 8 - 15 - 20 min.

I diagrammene fra Noteby A/S er deformasjon ϵ (%) og modul M (MPa) tegnet opp som funksjon av belastning. Opptegningen viser at modulen er tilnærmet lineært avhengig av effektivspenningen, og følgelig kan ekvivalent plastisk regnemodell benyttes for setningsberegningene. Opptegningen antyder en konsolideringsspenning $p_c \approx 50$ kPa. Denne konsolideringsspenningen kan muligens skyldes en viss erosjon i tørrfallsområdet, men noen sikker forklaring kan ikke gis. Imidlertid er det mulig å komme frem til en konsolideringsspenning lik 20 kPa, ut fra følgende resonnement:

Effekt av snø- og islast : 5 kPa

Effekt av springlavvann (s.l.v = -2,0 m) : 15 "

Total konsolideringsspenning $p_c = 20$ kPa

Konsolideringsspenning $p_c = 20$ kPa er benyttet i beregningene.

Gjennom modulverdiene for spenninger større enn konsolideringsspenningen, er det trukket en rett linje for bestemmelse av modultallet m . Følgende verdier ble funnet:

Prøve, pel 8900 C.L., dybde z = 2,5 m: $m = 25,5$

Prøve, pel 9050 20mV, dybde z = 7,3 m: $m = 22,3$

I setningsberegningene er modultallet $m = 25,0$ benyttet da det er setningen av de øverste lagene som er utslagsgivende.

For hvert lasttrinn er deformasjonen tegnet opp som funksjon av tid, for bestemmelse av konsolideringskoeffisienten c_v . Denne varierte noe for de forskjellige lasttrinnene. Verdiene lå i området $c_v = 12,9 - 34,9 \text{ m}^2/\text{år}$.

I setningsberegningene er konsolideringskoeffisient $c_v = 25,0 \text{ m}^2/\text{år}$ benyttet, da dette er representativ verdi for de aktuelle spenningsområdene.

Triaksialforsøk:

De tre triaksialforsøkene er kopiert sammen på ett skjema, og følgende parametere er bestemt:

Friksjonvinkel $\phi = 32,3^\circ$, $\tan \phi = 0,633$

Attraksjon $a = 5,0$ kPa

Effektiv hviletrykkskoeffisient $K_0' = 0,52$

Poretrykksparameter $D = 0,1 - 0,2$

Fra disse forsøkene er $\tan \phi$ og a brukt direkte i stabilitetsanalysene. Hviletrykkskoeffisienten og poretrykksparameteren er blitt tilpasset de aktuelle spenningstilstandene. Dette er nærmere beskrevet i kapitlet om stabilitetsanalysene.

3. STABILITETSANALYSER.

Analysene er gjennomført både ved stabilitets- og bæreevneberegninger. Bæreevneberegningene er utført på forenklede modeller for hånd. Stabilitetsanalysene er gjennomført v.h.a. EDB-beregninger.

3.1 Beregningsmetode.

Stabilitetsberegningene er gjennomført ved hjelp av EDB-programmet ESAU (Effektive Stress Analyses, Undrained). Programmet er en utvidelse av LAMMET, og begge er utviklet ved Geoteknisk Institutt, NTH. Programmet er basert på oppdeling i vertikale lameller, på samme måte som ved håndregning. Både drenerte og udrenerte forhold er mulig å studere. Ved drenerte forhold brukes vanlige materialparametere, samt opplysninger om belastninger og poretrykk. Ved udrenerte betraktninger gis det i tillegg opplysninger om materialets poretrykksoppbyggende egenskaper, og spenningstilstand før lastendring.

For å kontrollere materialparametere og tolking av spenningstilstanden i siltmassene ble jernbanefyllingen etterregnet. Det ble antatt en utførelse i to lag, og 60 dager drenering mellom hvert lag. Dette stemmer bra med de produksjonsrater de hadde i 1930-årene. Ved å bruke parametrene fra triaksialforsøkene direkte, og anta en konsolideringslast $p_c = 20$ kPa, ble mobiliseringsgraden bestemt til $f = 0.7$ rett etter oppbygging til full høyde. Dette tilsvarer en materialkoeffisient $\gamma_m = 1.4$.

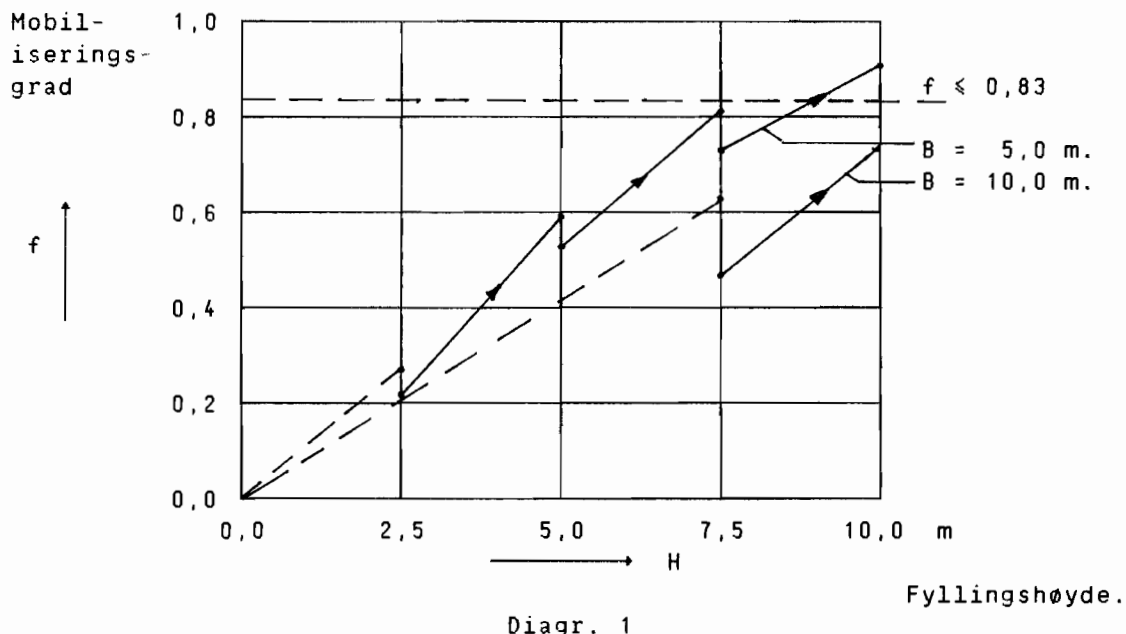
Stabiliteten av vegfyllingen er vurdert ut fra en lagvis oppfylling. Det er tatt utgangspunkt i fremdriftsprogrammet for tunnelene for å komme frem til et praktisk tidsforbruk. Det er regnet med 2,5 m. lagtykkelse og 30 dager drenering mellom hvert lag, for å tilpasse utfyllingen til de produksjonsrater og -volumer som er antatt tilgjengelige.

For lamelleberegningene er innvirkningen av parameter-, geometri- og skjærflatevariasjoner undersøkt. Laboratorieundersøkelsene ga kun et lite variasjonsområde for aktuelle materialparametere. Variasjon av disse parametrene ga lite %-vis utslag på mobiliseringen. Derimot ga relativt beskjedne endringer av initialspenningene større utslag på mobiliseringen. Geometrivariasjonene har gitt endelig form på fyllingen. Skjærflatevariasjonene ble begrenset til et minimum ved å ta utgangspunkt i geometrien fra bæreevneberegningene.

3.2 Beregningsresultater.

Stabilitetsberegningene for lagvis oppfylling er utført etter følgende mønster: Først 2,5 m udrenert oppfylling og deretter 30 dager drenering. Dette er gjentatt 4 ganger. Representative resultater er gjengitt i diagram 1.

Diagrammet viser resultatet for en glideflate beregnet for en fylling med 5 m. motfylling, samt avsluttende utvikling når motfyllingen økes til 10 m. Kurven viser at mobiliseringsgraden blir for høy når fyllingen er høyere enn 7,5 m, og motfyllingen kun har en bredde på 5 m. Mobiliseringsgrad $f = 0,83$ tilsvarer materialfaktor $\gamma = 1,2$, som er minste akseptable materialfaktor for korttidsproblemer. Ved å øke motfyllingen til 10 m oppnås en tilfredstillende korttidssikkerhet for oppfyllingen av de siste metrene. Etterhvert som poreovertrykket dreneres vil mobiliseringsgraden synke, slik at langtidsstabiliteten vil være adskillig bedre enn det som kommer frem av diagrammet. Som diagrammet viser bygges det vesentligste av mobiliseringen opp under utleggingen av det første laget.



Diagr. 1

Motfyllingen som er påkrevet for å få tilfredstillende korttidssikkerhet, har i tillegg en gunstig langtidsvirkning på vegfyllingen. Ved å betrakte tverrprofilene av jernbanefyllingen ser en at den har vært utsatt for erosjon, både ut mot fjorden og inne i vika. Motfyllingen vil virke som en offerfot om tidevannet vil erodere i fyllingen.

Vegfyllingen vil ikke virke skadelig på stabiliteten av jernbanefyllingen. De to fyllingene vil virke som motfyllinger for hverandre der hvor de går sammen. I den andre enden vil de ha begrenset innvirkning på hverandre. Vegfyllingen vil imidlertid kunne øke setningene av jernbanefyllingen noe, se kapittel 4.

3.3 Oppbygging og utlegging av vegfyllingen.

Vegfyllingens geometri er vist på bilag 1 og 2.

Følgende retningslinjer skal følges ved oppbygging av vegfyllingen:

- Vegfyllingen bygges opp i 4 lag á 2,5 m. lagtykkelse.
- Det skal gå minst 30 dager mellom utlegging av hvert lag, og det første laget legges ut med mindre hastighet på fyllingfronten enn de øvrige lagene.
- Hastighet på fyllingsfronten:
 1. lag : Max. 4,0 m / dag.
 - 2, 3. og 4. lag : Max. 8,0 m / dag.
- Vegfyllingen utføres med motfylling i hele fyllingens lengde, og på begge sider. Motfyllingen er en utvidelse av første utfyllingslag og gis en bredde på 5,0 m. frem til pel 9050, for deretter å øke til 10,0 m. i nordenden av Holandsvika.

4. SETNINGSANALYSER.

4.1 Beregningsmetode.

Setningsberegningene er gjennomført på forenklede modeller for hånd. Fyllingsgeometrien er erstattet av et fundament med ekvivalent rektangulær belastning, og uendelig utsrekning i lengden. Ved å gjøre denne tilnærmingen er det mulig å bruke diagrammer fra N. Janbu: "Grunnlag i geoteknikk" for å finne spenningsfordelingen i dybden. Disse diagrammene er tilpasset de aktuelle jordartene.

Beregningene er gjennomført for profil 8900 og 9100. Ved profil 8900 er det regnet med ca. 10 m. til fjell. Ved profil 9100 er det ikke gitt noen begrensning på lagtykkelsen. Boringene her har ikke registrert fjell selv om det er boret til 25,6 m. Det er forøvrig i de øverste lagene at det vesentligste av setningene oppstår.

4.2 Beregningsresultater.

For hvert snitt er det oppgitt tre forskjellige mål på setningsbidragene. Initialsetning kommer i byggeperioden fordi noe av belastningene overføres direkte til kornskjelettet. Primærsetningene kommer etterhvert som poreovertrykket dreneres ut. Denne prosessen er avhengig av drenesveien, og vil følgelig gå raskest der lagtykkelsen er minst. Sekundærsetningene gir utsyn for krypet i materialet. Denne virkningen blir merkbar først etter at det vesentligste av primærsetningene er gjennomført. Sekundærsetningene er i vesentlig grad påvirket av massenes organiske innhold.

Den resulterende setningsutviklingen over de første 25 år er fremstilt i diagram 2.

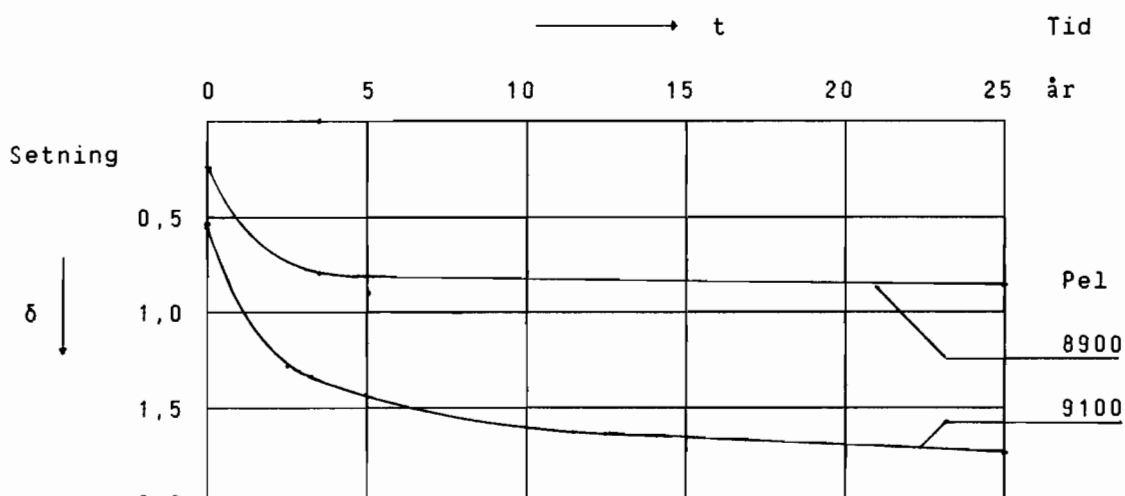


Diagram 2.

Disse setningene er resultat av følgende setningsbidrag:

Pel 8900:

- Initialsetning : 0,25 m
- Primærsetning : 0,50 m i løpet av ca. 3 - 4 år.
- Sekundærsetning : 0,05 m i løpet av de neste 20 år.

Pel 9100:

- Initialsetning : 0,50 m
- Primær- og sekundærsetning : 1,25 m i løpet av ca. 30 - 40 år.

Vegfyllingen vil virke inn på spenningsbildet under jernbanefyllingen, og følgelig på setningene av denne. Det vesentligste av setningene under jernbanefyllingen må regnes som overstått. Ifølge samtaler med banevokteren ved Mosjøen stasjon har det ikke vært setningsproblemer med fyllingen. Dette må tolkes som at det ikke har vært skjevsetninger av betydning. Det har ikke vært utført noe setningsnivellelement av fyllingen. Selv om jernbanefyllingen kan ha hatt store, jevne setninger gir dette liten vinkelendring på en 200 m. lang fylling. Setningsbidraget fra vegfyllingen antas ikke å få noen praktisk innflytelse på jernbanefyllingen. Beregningsmessig tilleggsetning fra vegfyllingen ligger i området 0,1 - 0,2 m, som tilsvarer vinkelendring mindre enn 1 : 200.

5. KONKLUSJON

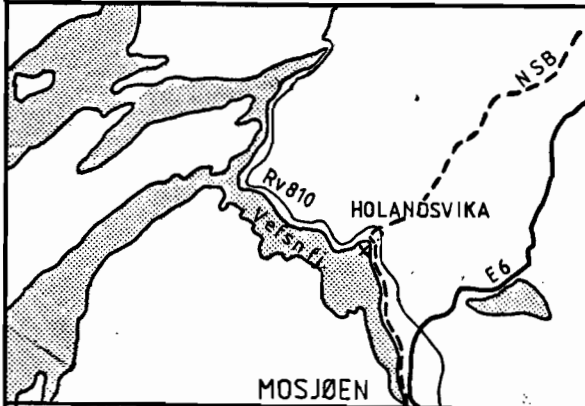
Vegfyllingen lar seg ikke utføre som den var vist på den opprinnelige tegningen, tegn C3, fra Fjellanger Widerøe A/S. For å få tilfredsstillende stabilitet i anleggsperioden må vegfyllingen utføres med motfylling. Sammenlignes den med jernbanefyllingen, som er uten motfylling, skyldes forskjellen at jernbanefyllingen ble lagt ut med mye lavere fyllingshastighet.

Motfyllingen skal legges ut til kt. + 2,0. Bredden skal tilpasses fyllingens høyde. Frem til pel 9050 skal motfyllingens bredde være 5,0 m, og for deretter å øke jevnt til 10,0 m. ved nordenden av Holandsvika. Vegfyllingen skal legges ut i 4 lag á 2,5 m. tykkelse, og det skal gå minst 30 dager mellom utleggingen av hvert lag. Det første laget skal legges ut med minst utfyllingshastighet. Følgende hastigheter tillates på fyllingsfronten:

1. lag : max. 4,0 m / dag.
- 2, 3. og 4. lag : max. 8,0 m / dag.

Det må regnes med betydelige setninger på fyllingen, både under utlegging og i bruksperioden. De vil være størst i nordenden, og minst i sydenden. I anleggsperioden må det regnes med 0,25 m. setning i sydenden, og 0,5 m. i nordenden av Holandsvika. I løpet av de første 25 år vil de akkumulerte setningene komme opp i 0,8 m. i sydenden, og 1,75 m. i nordenden.

Vegfyllingen forventes ikke å virke inn på stabiliteten av jernbanefyllingen. Den vil imidlertid kunne føre til noe setninger i jernbanefyllingen, uten at dette regnes å ha noe skadelig innvirkning på driften av jernbanen.



-3 800 Y

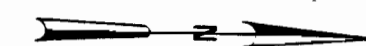
HOLANDSVIKA

9968

9000

9100

15,75
12,00
9,10
15,30
26,45
24,60
24,00
25,60
16,85
25,50



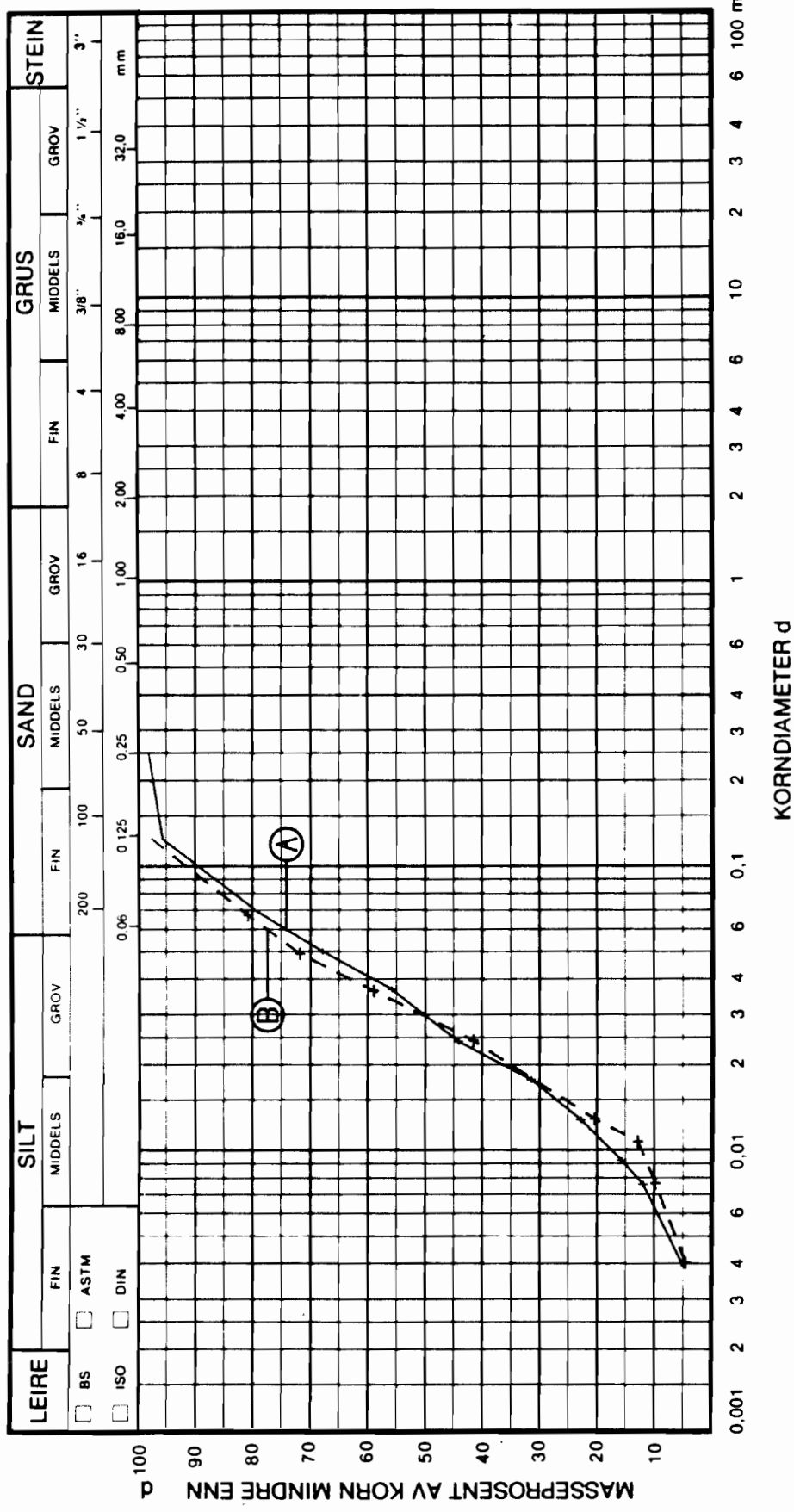
-3 600 Y

BILAG 1

REVIDERINGEN GJELDER	REV.	DATO, SIGN
MALESTOKK	TEGN.	
Rv. 810 UTBEDRING	TRAC.	7.5.
BORPLAN	KONTR.	15/1.15 21/1.
	GODKJ.	15/1.15 16/1.
	SAK NR.	TEGN. NR
Rv. 810 UTBEDRING	11000	REV.
BORPLAN	BERDAL	1783
INGENIOR A.B. BERDAL A/S		

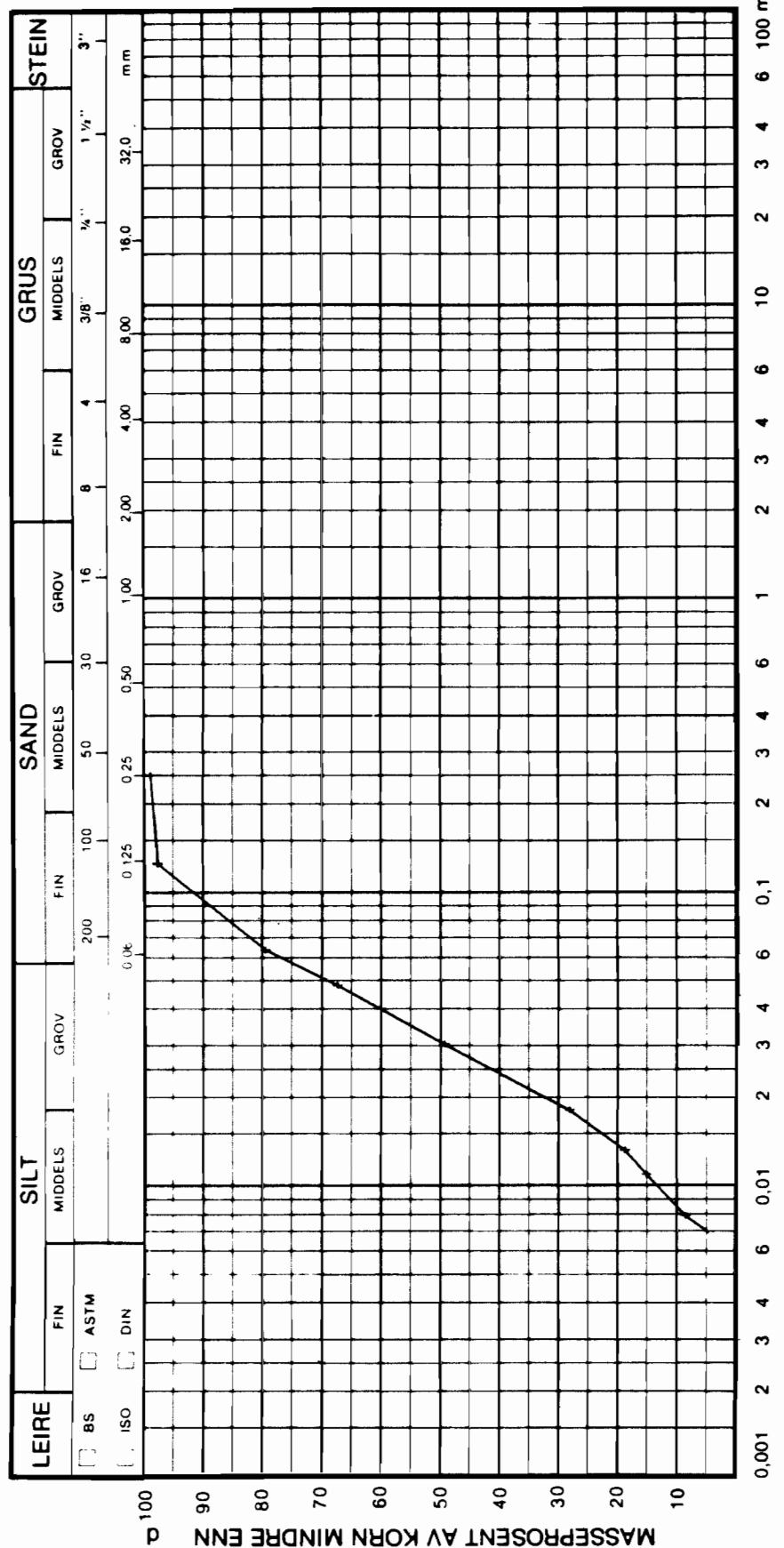
BILAG 3

LABORATORIERESULTATER FRA NOTEBY A/S

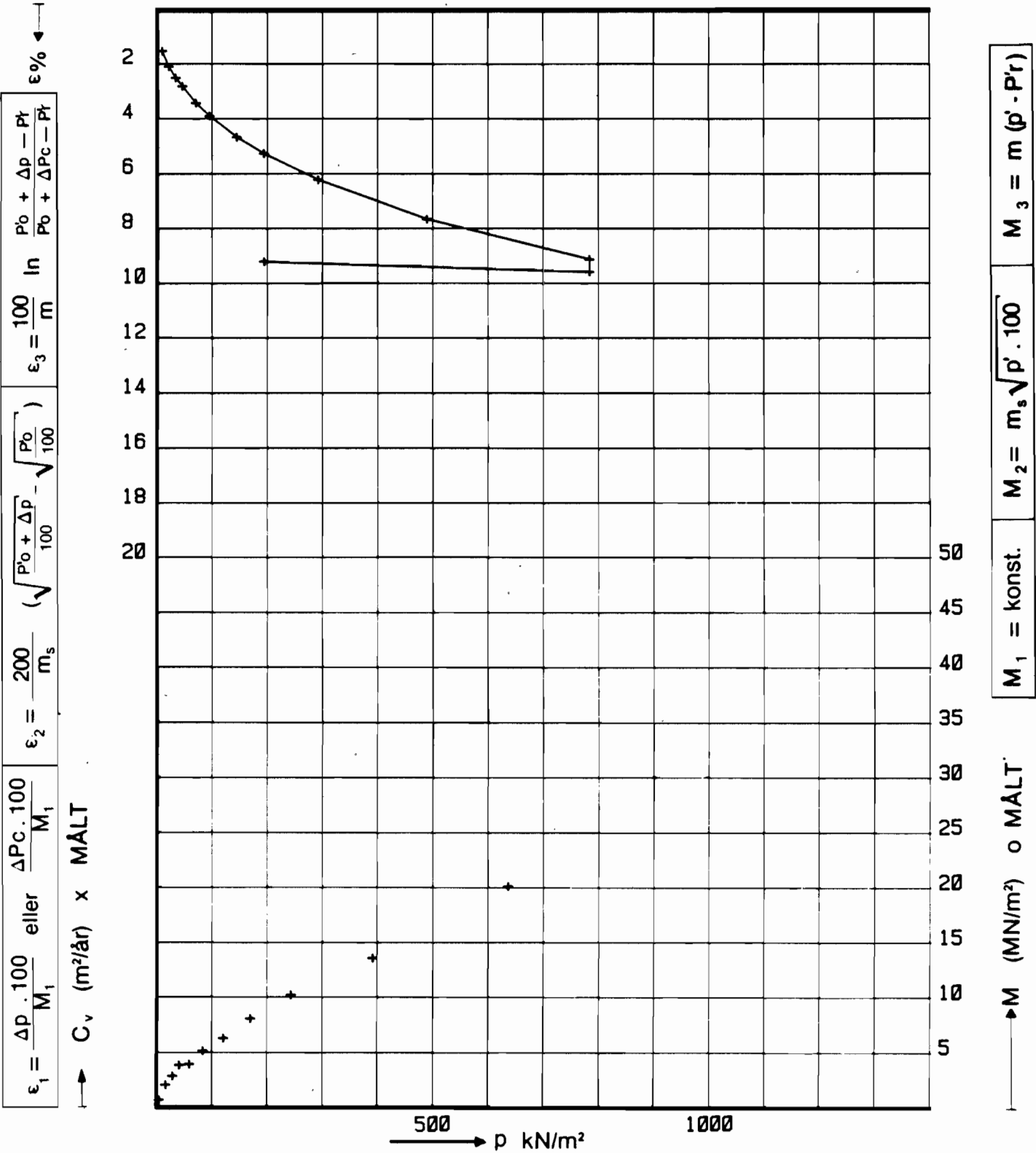


SYM- BOL	PRØVE- SERIE NR.	DYBDE m (KOTE)	JORDARTBETEGNELSE	ANMERKNING	METODE	
					TØRR SIKT	HYDR F.DRØP
A	8900	2. 0-2.7	SILT. FIN SANDIG		X	X
B	8900	2. 0-7.7	SILT. FIN SANDIG		X	X

KORNGRADERING	BORING NR. 8900 / CL	TEGNET AS	REV.
RIKSVEG 810 UTBEDRING		KONTR.	KONTR.
		DATO 13/12-84	DATO
 NOTEBY NORSK TEKNISK BYGGEKONTROLL A/S	OPPDAG NR. 25229	TEGN. NR. 60	SIDE

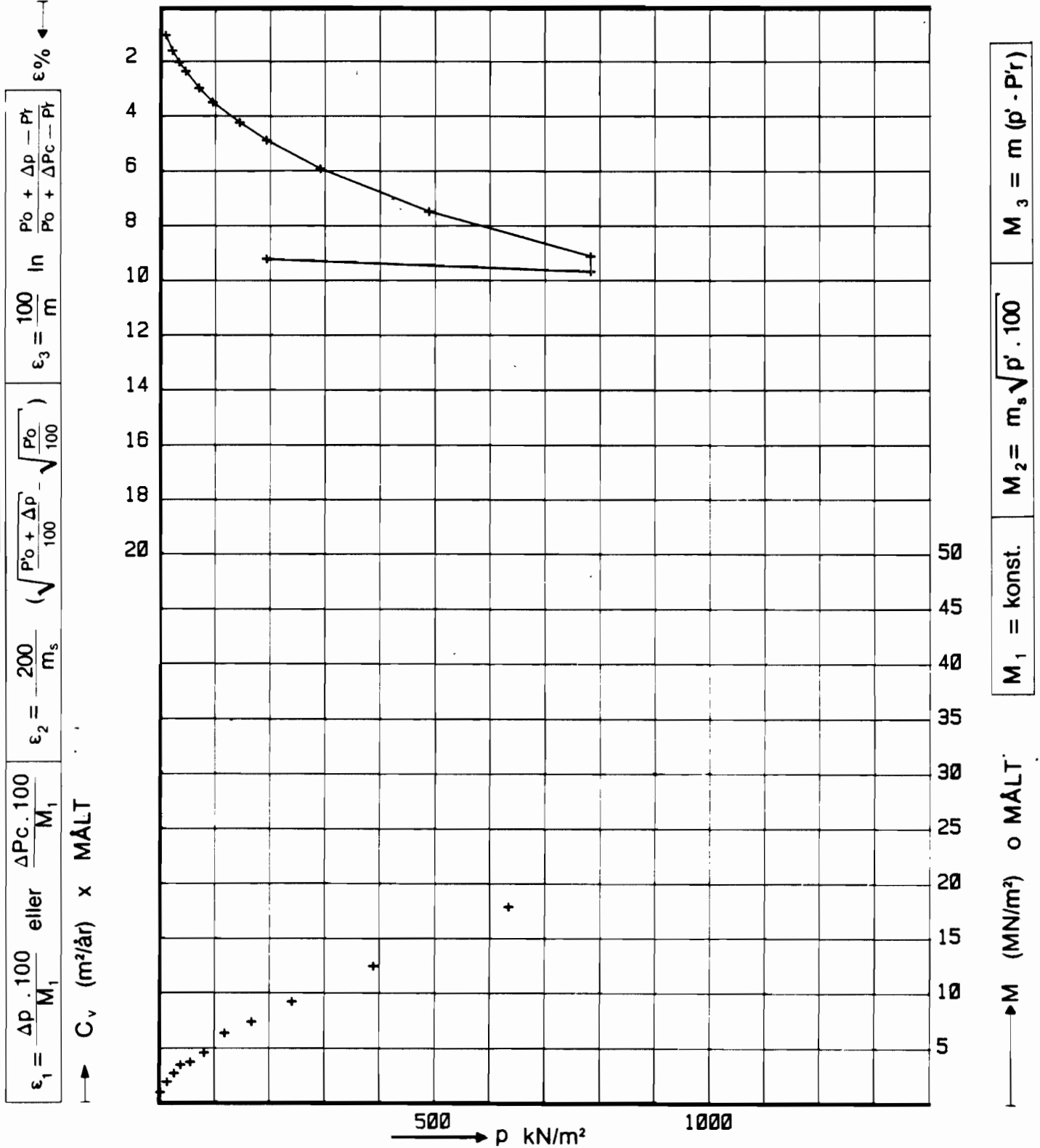


KORNGRADERING		BORING NR. 9050/20m.V	TEGNET AS	REV.
RIKSVEG 810 UTBEDRING			KONTR.	KONTR.
			DATO 13/12-84	DATO
 NOTEBY NORSK TEKNISK BYGGEKONTROLL A/S	OPPDAG NR 25229	TEGN. NR. 61	REV	SIDE



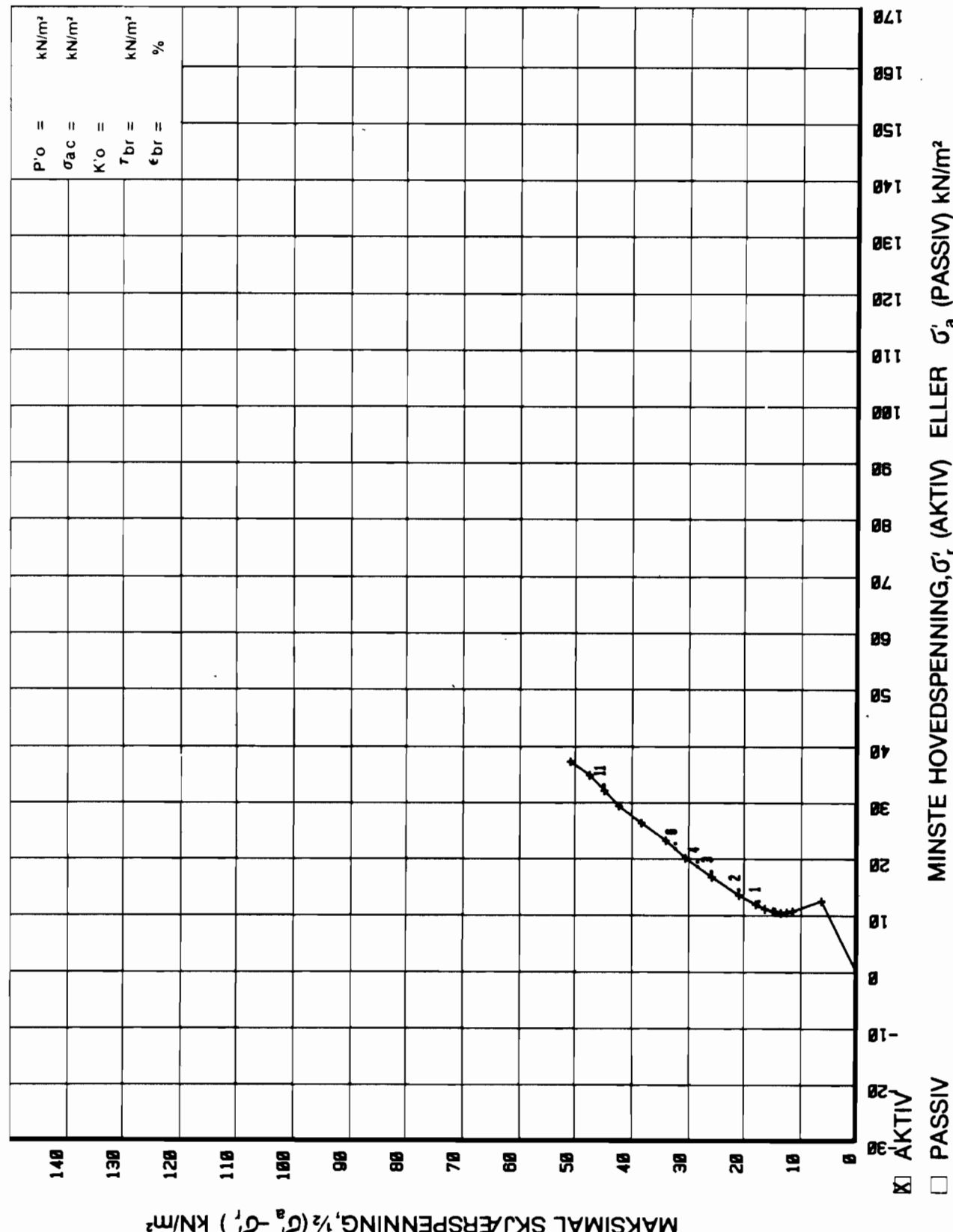
PRØVE	PRØVE-SERIE	DYBDE (KOTE)	JORDART	W %	n %	P' ₀ kN/m ²	P _c kN/m ²	P _f kN/m ²	m I REGNE-MODELL NR
	8900 CL	2.5	SILT	29.4					

ØDOMETERFORSØK - ØDOTREAKSFORSØK RIKSVEG 810 UTBEDRING	BORING NR. 8900 CL	TEGNET ÅS	REV.
		KONTR.	KONTR.
		DATO 12/12-84	DATO



PRØVE	PRØVE-SERIE	DYBDE (KOTE)	JORDART	W %	n %	P _o kN/m ²	P _c kN/m ²	P _r kN/m ²	m I REGNE-MODELL NR.
	9050	7.3	SILT	28.2					

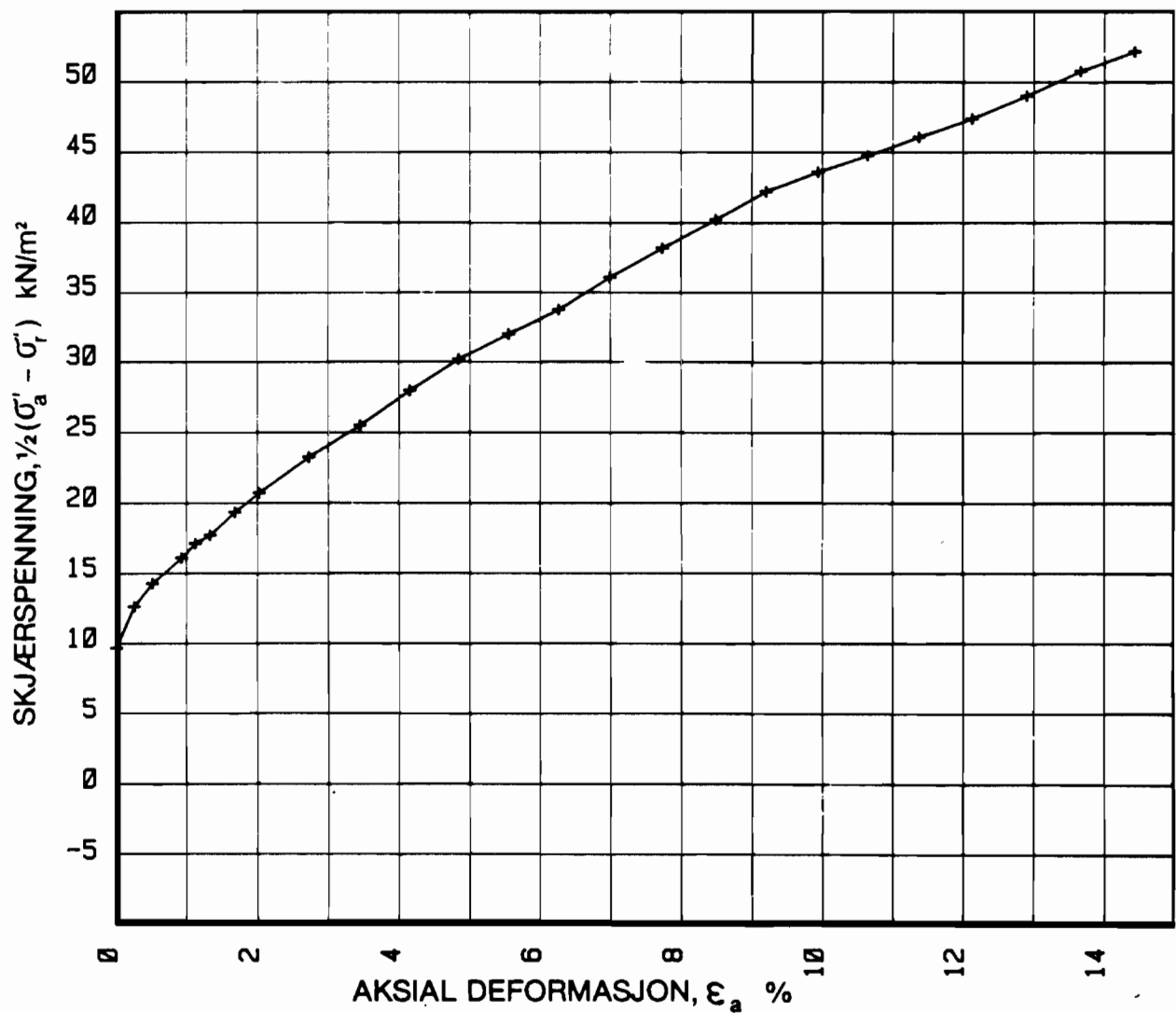
ØDOMETERFORSØK - ØDOTREAKSFORSØK RIKSVEG 810 UTBEDRING	BORING NR. 9050/20MV	TEGNET ÅS	REV.
	KONTR.	KONTR.	
	DATO 12/12-84	DATO	
NOTEBY NORSK TEKNISK BYGGEKONTROLL A/S	OPPDAG NR. 25229	TEGN. NR. 76	SIDE



TREAKSIALFORSØK
HOVEDSPENNINGSVEKTOR

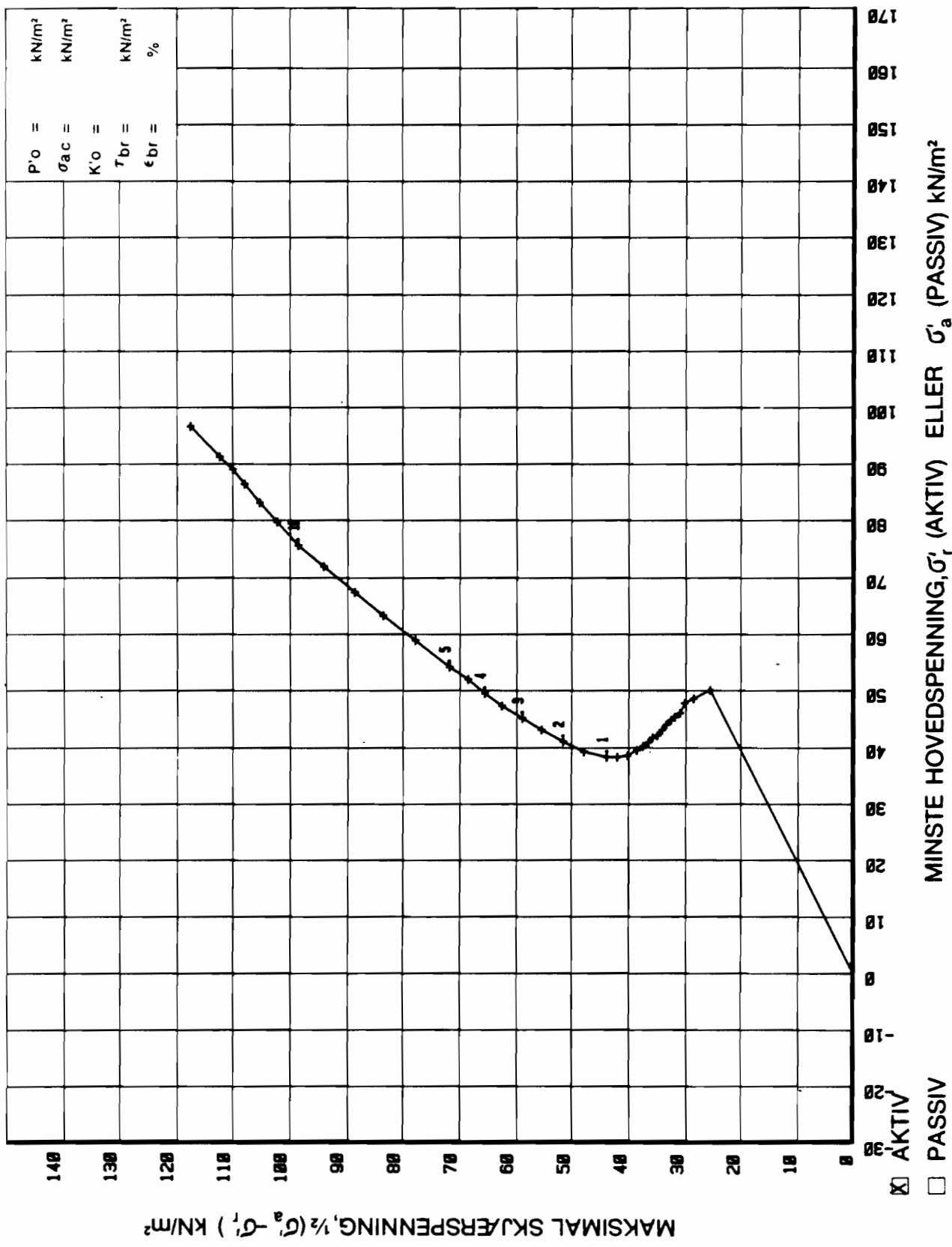
RIKSVEG 810
UTBEDRING

BORING NR.	TEGNET	REV.
8900/CL	SK	
DYBDE m (KOTE)	KONTR.	KONTR.
2.25		
OPPDRAg NR.	DATO	DATO
25229	11/12-84	
TEGN. NR.	REV.	SIDE
77		

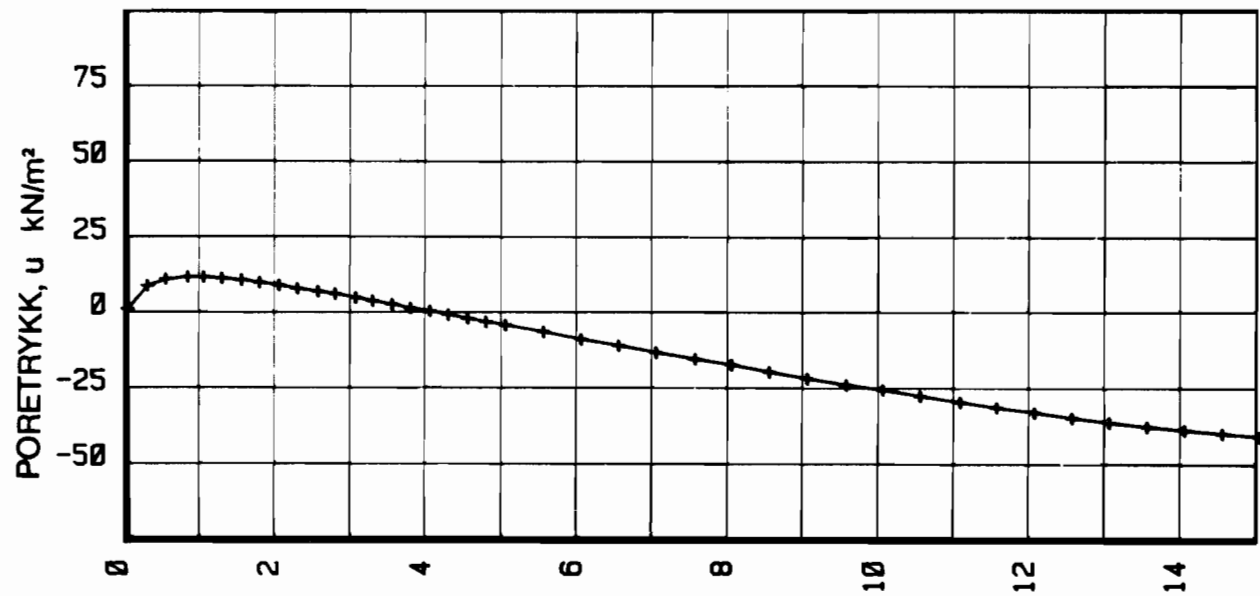
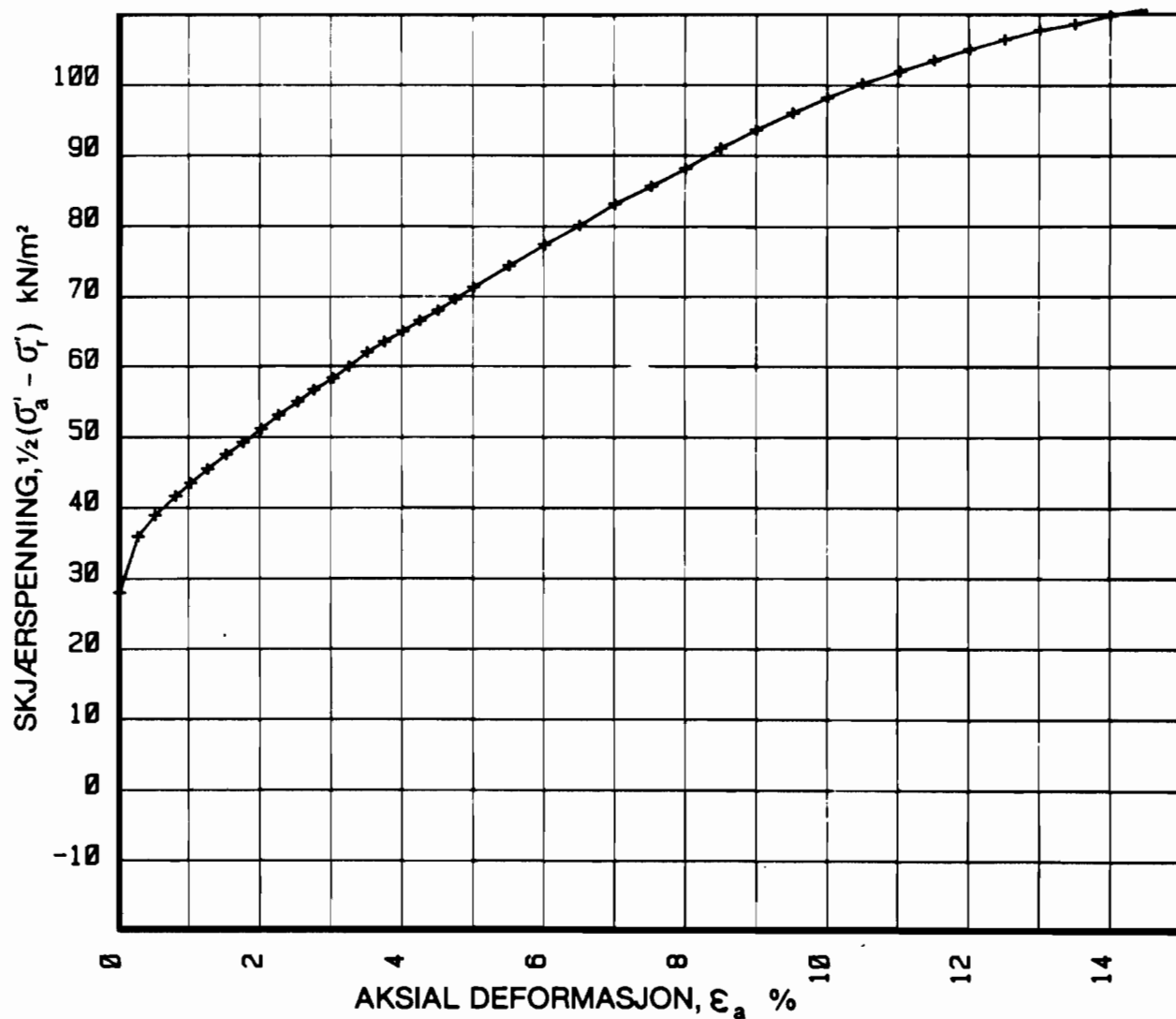


$$\sigma_{ac} = 25.0 \text{ kN/m}^2, \quad \sigma_{rc} = 12.5 \text{ kN/m}^2, \quad w_i = 29.8 \text{ \%}$$

TREAKSIALFORSØK ARBEIDSURVE - PORETRYKK		BORING NR. 8900/CL	TEGNET SK	REV.
RIKSVEG 810	DYBDE m (KOTE) 2.25	KONTR.	KONTR.	
UTBEDRING		DATO 11/12-84	DATO	
NOTEBY NORSK TEKNISK BYGGEKONTROLL A/S	OPPDRAG NR. 25229	TEGN. NR. 78	REV.	SIDE



TREAKSIALFORSØK HOVEDSPENNINGSVEKTOR	BORING NR. 8900/CL	TEGNET SK	REV.
RIKSVEG 810 UTBEDRING	DYBDE m (KOTE) 7.5	KONTR.	KONTR.
	DATO 7/12-84	DATO	
 NOTEBY NORSK TEKNISK BYGGEKONTROLL A/S	OPPDRAG NR. 25229	TEGN. NR. 79	SIDE



$$\sigma_{ac} = 100.0 \text{ kN/m}^2$$

$$\sigma_{rc} = 49.9 \text{ kN/m}^2$$

$$w_i = 40.6 \text{ \%}$$

TREAKSIALFORSØK
ARBEIDSKURVE - PORETRYKK

RIKSVEG 810

UTBEDRING

BORING NR.
8900/CL

TEGNET
SK

REV.

DYBDE m (KOTE)

7.5

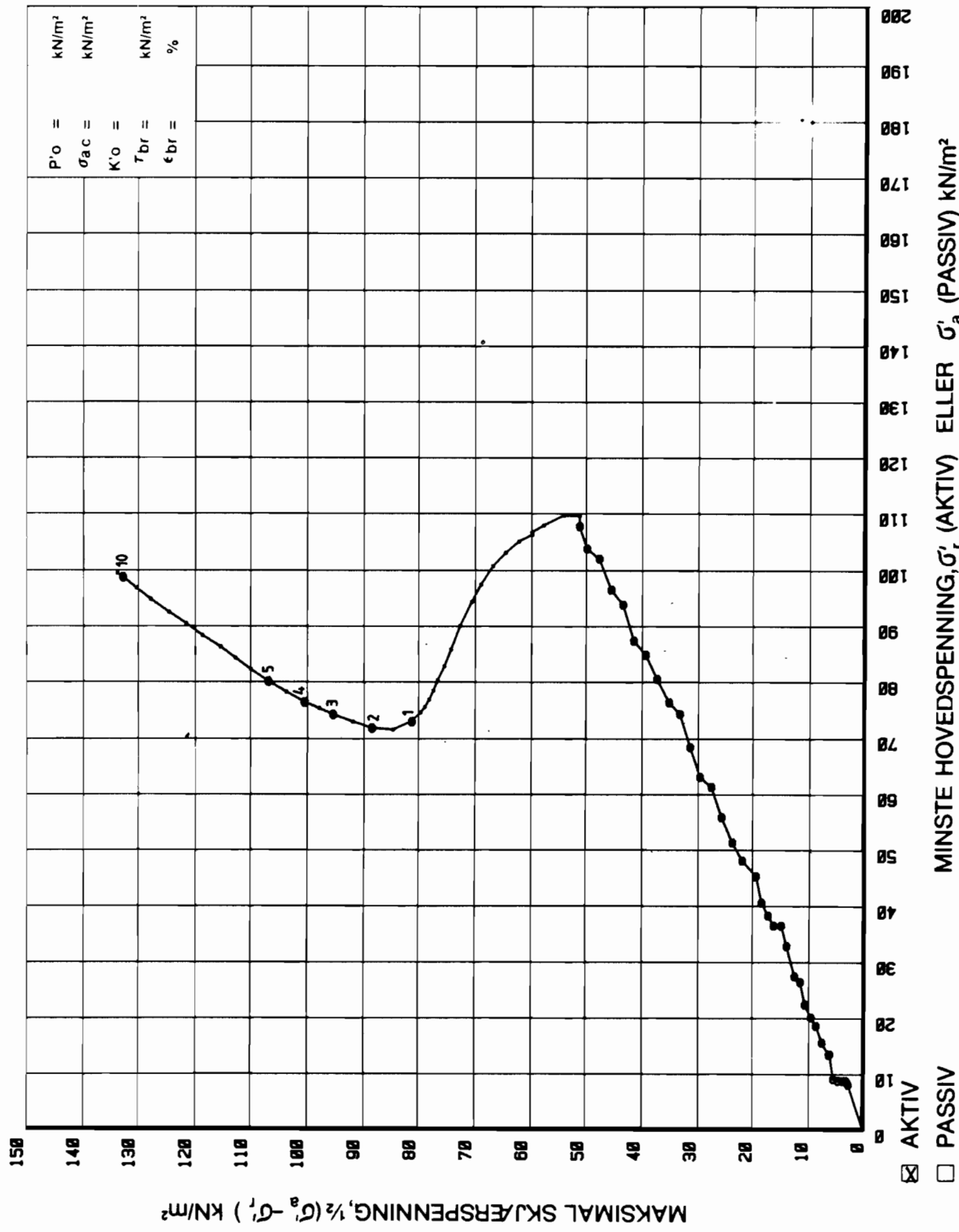
KONTR.

KONTR.

DATO

7/12-84

DATO



TREAKSIALFORSØK
HOVEDSPENNINGSVEKTOR

RIKSVEG 810
UTBEDRING

BORING NR. 9050/20mV TEGNET OM REV.

DYBDE m (KOTE) KONTR. KONTR.

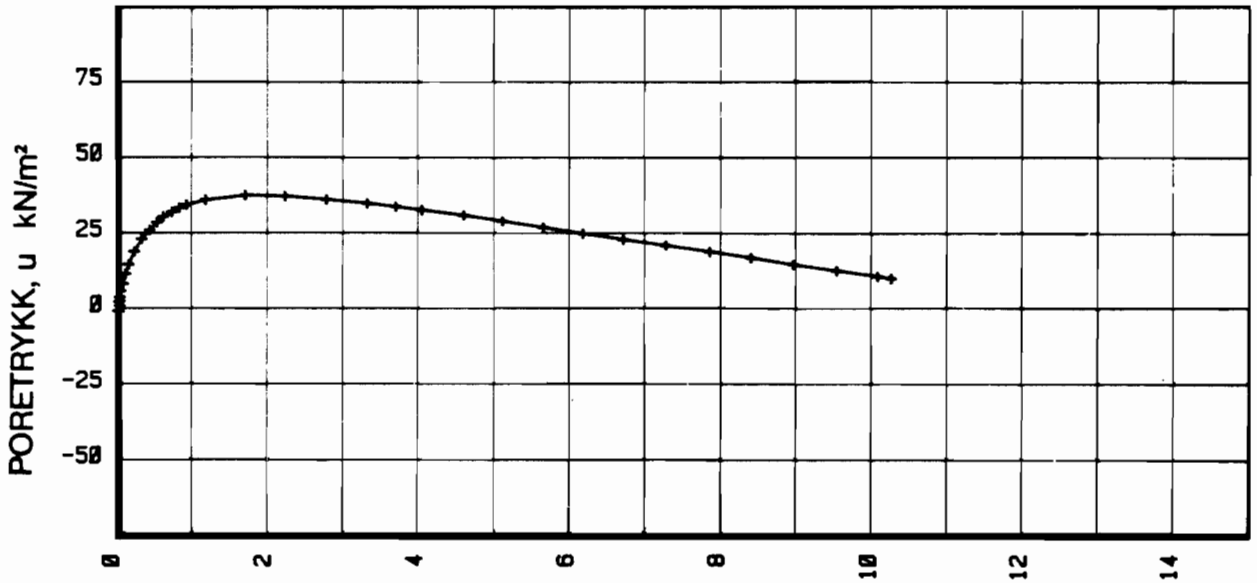
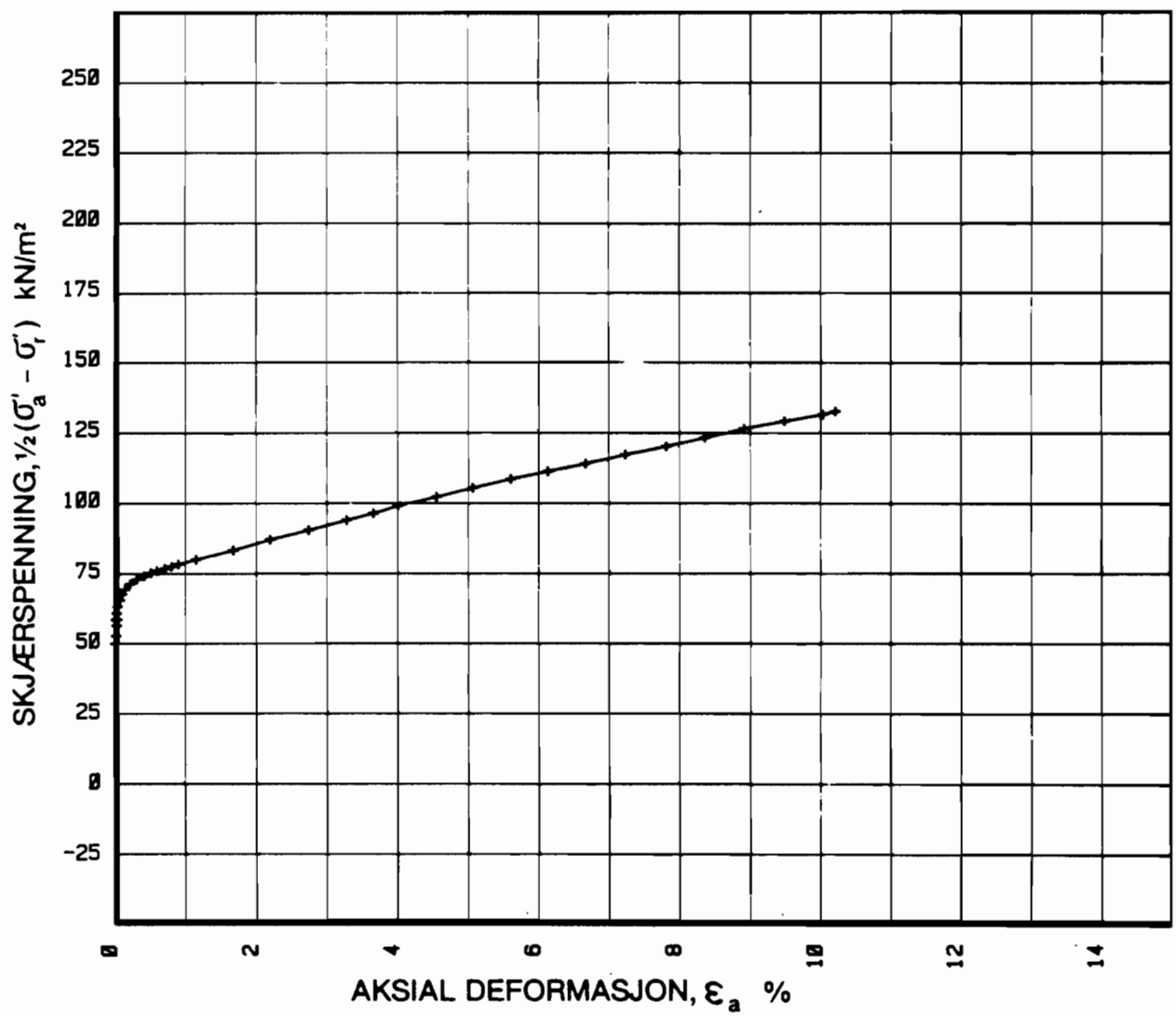
7.4 DATO 10/12-84

TEGN. NR. REV. SIDE

NOTEBY
NORSK TEKNISK
BYGGEKONTROLL A/S

OPPDRAG NR. 25229

TEGN. NR. 81



$$\sigma_{ac} = 212.3 \text{ kN/m}^2, \quad \sigma_{rc} = 109.8 \text{ kN/m}^2, \quad w_i = 29.4 \text{ \%}$$

TREAKSIALFORSØK
ARBEIDSKURVE - PORETRYKK

RIKSVEG 810
UTBEDRING

BORING NR.
9050/20mV TEGNET
OM

DYBDE m (KOTE) KONTR. KONTR.

7.4

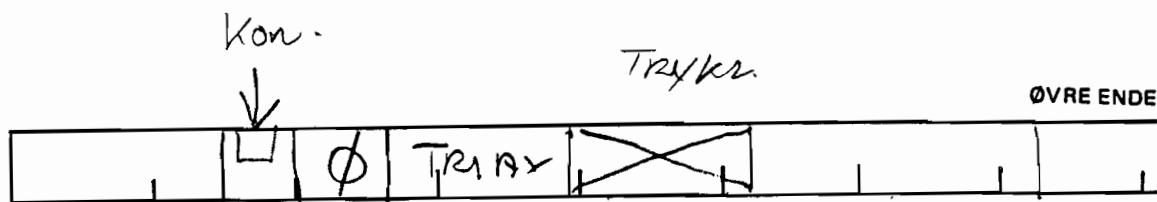
DATO
10/12-84

OPPDRAg NR. TEGN. NR. REV. SIDE

25229 82

Laboratoriebok

Nr. 1347



SILT m/NOE FINSAND og SKJELVÆSTER

STATENS VEGVESEN	
Veglaboratoriet, Gaustadalleen 15, Blindern, Oslo 3	
Sted: Villavikta	Dybe: 200-300
	Jordet: Slet
Oppdrag nr.:
Hull: 8900 E	Dato: 29-11-84
Pel:	Sign.: M.T.

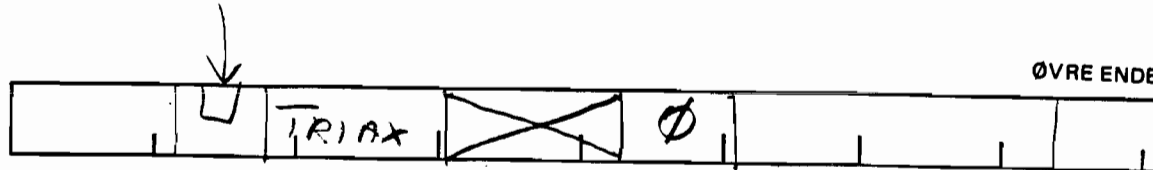
Blankett nr. 458. Merkelapp for sylinderprøver

30 000. 5.81 Villco A3 1243

Delprøve		A	B	C
Skål nr.		52	42	
Vekt fritt g		98,8	143,6	
Vekt dyppet g		48,7		
Vol. prøve - cm ³		60,1		
> Vekt tørr g		75,9	111,0	
Vekt vann g				
Uforstyrret Konusinntrykk mm	400g-30°			
Omrørt Konusinntrykk mm	100g-30°	5,2		
	60g-60°			
	10g-60°			
WF evt. WL	400g-30°			
Omrørt Konusinntrykk mm	100g-30°	9,2		
	60g-60°			
	10g-60°			
Delprøve				
Skål nr.				
Konus evt. slag	wp evt. wk			
Vekt våt g		evt. konus		
Vekt tørr g				

Resultater	A	B	C
Vanninnhold i % w	30,2	29,4	
Romvekt, våt i g/cm ³ Pv	1,17		
Romvekt, tørr i g/cm ³ PT			
Spesifikk vekt, G _s			
Porositet i % n			
Porettall e			
Metningsgrad i % s			
Finhetstall WF (Flytegrense, WL) %			
Utrull. gr. WP (Konusgrense, WK) %			
Plast.indeks i % Ip			
Uforst.skj.fasthet, v, Mp/m ² s _u	3,7		
Omrørt skj.fasthet, Mp/m ² s _r	1,2		
Sensitivitet (konus) St			
Skj.fasthet, Ø, Mp/m ² s _u		3,9	
Aksial deformasjon i %, ε _f		13	
Humus i %, O _a	1,5		
Glødetap i %, O _g	1,0		
Org. karbon i %, O _c			
Annet			

Boringssted..... Prøveserie.....
Prøven tatt... 29/11 Undersøkt... 11/12 Sign... A Syl. nr. W 21 Dybde... 20-30



SILT m/ SKJELL RESTER
OG ANTYDNING TIL NOE
OPBANISK M.R.T. (UREN),

STATENS VEGVESEN	
Veglaboratoriet, Gaustadalleen 25, Blindern, Oslo 3	
Sted: <u>Vikbakta</u>	Dybde: <u>700 - 800</u>
.....	Jordart: <u>S.1F</u>
Oppdrag nr.:
Hull: <u>B900 E</u>	Dato: <u>29-11-84</u>
Pel:	Sign.: <u>M.T.</u>

Blankett nr. 458. Merkelapp for sylinderprøver

30 000. 5.81 Vilco A3 1243

	Delprøve	A	B	C
old m.m.	Skål nr.	34	13	
Vann	Vekt fritt g	100,3	126,8	
	Vekt dyppet g	50,1		
	Vol. prøve cm ³	50,2		
	Vekt tørr g	78,2	97,8	
	Vekt vann g			
Uforstyrret	400g-30°			
	100g-30°	5,3		
	60g-60°			
	10g-60°			
Omrørt	400g-30°			
	100g-30°	8,0		
	60g-60°			
	10g-60°			
wf evt. wl	Delprøve			
	Skål nr.		wp evt. wk	
	Konus evt. slag			evt. konus
	Vekt våt g			
	Vekt tørr g			

Resultater	A	B	C
Vanninnhold i % w	26,3	29,6	
Romvekt, våt i g/cm ³ p _v	2,00		
Romvekt, tørr i g/cm ³ p _T			
Spesifikk vekt, G _s			
Porositet i % n			
Porettall e			
Metningsgrad i % s			
Finhetsstall WF (Flytegrense, WL) %			
Utrull. gr. WP (Konusgrense, WK) %			
Plast.indeks i % Ip			
Uforst.skj.fasthet, ∇ , MP/m ² s _u	3,6		
Omrørt skj.fasthet, MP/m ² s _r	1,6		
Sensitivitet (konus) St			
Skj.fasthet, σ , MP/m ² s _u	4,1		
Aksial deformasjon i %, ϵ_f	11,0		
Humus i %, Ona	1,6		
Gjødetap i %, O _g	0,78		
Org. karbon i %, O _c			
Annet			

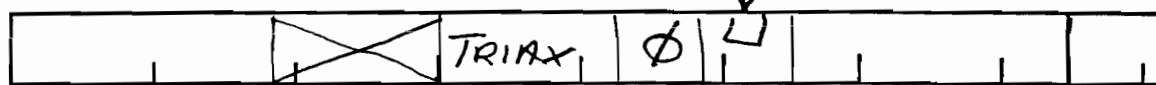
Boringssted..... RIKSVEG 810 OTBEDRINGS..... Prøveserie..... 8900 E
Prøven tatt..... 29/11 Undersøkt..... 7/12 Sign..... Syl. nr. 1 Dybde..... 70-8,0

36 ▽
16 •

41 P

30

ØVRE ENDE



SILT, FINSANDIG

m/ ENTETTE SKJØRE RESTER
VIRKER ÆSKA NOG UREN

STATENS VEGVESEN

Veglaboratoriet, Gaustadalleen 25, Blindern, Oslo 3

Sted: V. 46 m.s.n.m.	Dybde: 7.0 - 8.00
.....	Jordart: S.I.F.
Oppdrag nr.:
Hull: 9050/20cmv	Dato: 28-11-84
Pel:	Sign.: M.T.

Blankett nr. 458. Merkelapp for sylinderprøver

30 000. 5.81 Vilco A3 1243

Delprøve		A	B	C
nhold m.m.	Skål nr.	38	43	
Vai	Vekt fritt g	109,7	99,7	
	Vekt dyppet g		49,9	
	Vol. prøve cm ³		49,8	
	Vekt tørr g	83,6	78,6	
	Vekt vann g			
Uforstyrret	Konusintrykk mm	400g-30°	8,0	
		100g-30°		
		60g-60°		
		10g-60°		
Omrørt		400g-30°		
		100g-30°		
		60g-60°		
		10g-60°		
evt. WL	Delprøve			
	Skål nr.	-		
wF	Konus evt. slag		WP evt. WK	evt. konus
	Vekt våt g			
	Vekt tørr g			

Resultater	A	B	C
Vanninnhold i % w	31,2	26,8	
Romvekt, v�t i g/cm ³ Pv		2,00	
Romvekt, t�rr i g/cm ³ PT			
Spesifikk vekt, G _s			
Porositet i % n			
Poretall e			
Metningsgrad i % s			
Finhetstall WF (Flytegrense, WL) %			
Utrull. gr. WP (Konusgrense, WK) %			
Plast.indeks i % Ip			
Uforst.skj.fasthet, ∇ , Mp/m ² su		6,3	
Omr�rt skj.fasthet, Mp/m ² sr		/	
Sensitivitet (konus) St			
Skj.fasthet, Ø, Mp/m ² su	3,7		
Aksial deformasjon i %, Ef	9		
Humus i %, Ona	1,6		
Gl�detap i %, Og	0,93		
Org. karbon i %, Oc			
Annet			

Boringssted... RIKSVEG 810 UTBEDRINGER Pr veserie..... 9050/20cmv

Pr ven tatt..... Unders kt..... Sign..... W29 Dybde..... 7.0 - 8.0

BILAG 4

LABORATORIERESULTATER FRA ING. CHR. F. GRØNER A/S

PROVETAKING

Prøvetaker 54mnr

Grunnvannst.

Terengkote

Sign. M. J.

Sted V. L. Bokta

BESTILLING AV LABOR.

PROSJEKTIDENT.

BORING

SAKSB.

	LAB NR.	DATO ÅPNET	RUTINE	$W_L + W_P$	KORN FORDDEL	β_s	HUMUS	VON POST	ØDO	HYLL FOR PLEXI
1										
2										
3										
4										
5										
6										
7										
8										
9										
10										
11										
12										
13										
14										

Oppdragsnr.

Hull

Dato

29.-11.-84

Prøve dybde

Sylinder nr.

W/2

Silt.

W/21

11

W/22

Silt.

W/24

Silt.

W/25

Silt.

W/26

Silt.

W/27

Silt.

W/28

Silt.

W/29

Silt.

W/30

Silt.

W/31

Silt.

W/32

Silt.

W/33

Silt.

W/34

Silt.

W/35

Silt.

W/36

Silt.

W/37

Silt.

W/38

Silt.

W/39

Silt.

W/40

Silt.

W/41

Silt.

W/42

Silt.

W/43

Silt.

W/44

Silt.

W/45

Silt.

W/46

Silt.

W/47

Silt.

W/48

Silt.

W/49

Silt.

W/50

Silt.

W/51

Silt.

W/52

Silt.

W/53

Silt.

W/54

Silt.

W/55

Silt.

W/56

Silt.

W/57

Silt.

W/58

Silt.

W/59

Silt.

W/60

Silt.

W/61

Silt.

W/62

Silt.

W/63

Silt.

W/64

Silt.

W/65

Silt.

W/66

Silt.

W/67

Silt.

W/68

Silt.

W/69

Silt.

W/70

Silt.

W/71

Silt.

W/72

Silt.

W/73

Silt.

W/74

Silt.

W/75

Silt.

W/76

Silt.

W/77

Silt.

W/78

Silt.

W/79

Silt.

W/80

Silt.

W/81

Silt.

W/82

Silt.

W/83

Silt.

W/84

Silt.

W/85

Silt.

W/86

Silt.

W/87

Silt.

W/88

Silt.

W/89

Silt.

W/90

Silt.

W/91

Silt.

W/92

Silt.

W/93

Silt.

W/94

Silt.

W/95

Silt.

W/96

Silt.

W/97

Silt.

W/98

Silt.

W/99

Silt.

W/100

Silt.

W/101

Silt.

W/102

Silt.

W/103

Silt.

W/104

Silt.

W/105

Silt.

W/106

Silt.

W/107

Silt.

W/108

Silt.

W/109

Silt.

W/110

Silt.

W/111

Silt.

W/112

Silt.

W/113

Silt.

W/114

Silt.

W/115

Silt.

W/116

Silt.

W/117

Silt.

W/118

Silt.

W/119

Silt.

W/120

Silt.

W/121

Silt.

W/122

Silt.

W/123

Silt.

W/124

Silt.

W/125

Silt.

W/126

Silt.

W/127

Silt.

W/128

Silt.

W/129

Silt.

W/130

Silt.

W/131

Silt.

W/132

Silt.

W/133

Silt.

W/134

Silt.

W/135

Silt.

W/136

Silt.

W/137

Silt.

W/138

Silt.

W/139

Silt.

W/140

Silt.

W/141

Silt.

W/142

Silt.

W/143

Silt.

W/144

Silt.

W/145

Silt.

W/146

Silt.

W/147

Silt.

W/148

Silt.

W/149

Silt.

W/150

Silt.

W/151

Silt.

W/152

Silt.

W/153

Silt.

W/154

Silt.

W/155

Silt.

W/156

Silt.

W/157

Silt.



PRØVEÅPNING

PROJEKTIEN.

BORING NR.

וְאַתָּה תִּשְׁמַח

DyBDE

PROSJEKTIDENT.	[]	PROSJEKTNAMN:	<u>Vikenskogen</u>
BORING NR.	<u>89006</u>	DYBDE	<u>1-2</u>
		LAB.NR.	<u>9</u>



PRØVEÅPNING

PROSJEKT IDENI: ██████████ PRØVEMÅL: ██████████ LAB.NR. 11
BORING NR. 669004 DYBDE 5-6



PRØVEÅPNING

BORING NR.

BORING NR. 69004 DYBOE 6-7

BORING NR. 69004 DVBDE 6-7 LAB.NR. 12

Vibraphony

PROSJEKTNAVN

BORING NR. 69004 DYBDE 6-7 LAB.NR. 12



PRØVEÅPNING

PROSJEKTIDENT. L... PROSJEKTNAMN Vikhukta
 BORING NR. 8900 9 DYBDE 8-9 LAB.NR. 14

BESKRIVELSE	BEGER NR.	W %	W _r %	W _f %	UFORSTYRR KN/m ²	KONUS		TRYKKFORSØK		γ KN/m ²	γ _s KN/m ²
						OMRØRT KN/m ²	S _t	UFORST. KN/m ²	ε _t %		
<i>Skjellrest</i>	78	26,5				29,5	4,5	X	740	11,0	
	79	25,3									
	80	25,9									
	81	25,9									
	82	26,0									
<i>Silt</i>	83	25,1				33,5	3,9	9	350	10,0	
	84	26,5									
<i>Hjelvrest</i>											

80 cm

geo / 507 (1)



PRØVEÅPNING

RV 8/10

PROSJEKTIDENT. PROSJEKTNAMN Viksekta
 BORING NR.hull 9050/20m DYBDE ~2m LAB.NR. 1

BESKRIVELSE	PRØVE NR.	BEGER NR.	W %	W _c %	W _p %	W _s %	W _r %	KONUS			TRYKKFORSØK		γ KN/m ³	δ _s KN/m ³
								UFORSTYRR	OMRØRT	kn/m ²	UFORST. kn/m ²	E _f %		
10	1	38,0						17,5	37	5				
20	2	35,5												
30	3	38,7												
40	4	31,7												
50	5	35,4												
60	6	33,1												
70	7	41,8												
														80 cm

Tin sand / gift
Støkkosten

19,2 ? *Vi har fullt forstørrelset i forson*

Glass / glass blekt etter trykke

22,5' 9,0



PRØVEÅPNING

PROSJEKTIDENT. 1 PROSJEKTNAMN Viksekletta
BORING NR. Gassofteau DYBDE 2-3 LAB. NR. 2

BESKRIVELSE	PRØVE	BEGER NR.	W %	W %	W %	W %	KONUS			TRYKKFORSØK			
							UFORSTYRR. KN/m ²	OMRØRT KN/m ²	S _t	UFORST. KN/m ²	ε _f %	γ KN/m ²	δ _s kN/m ²
Sand traffis horn	10	8	35,4				48,5	31,0	2	27,5	9,0	19,1	
	11	9	33,7										
	12	10	36,1										
	13	11	31,3										
	14	12	30,7										
	15	13	29,5										
	16	14	30,4										
	17	15	29,5										
	18	16	29,5										
	19	17	29,5										
	20	18	29,5										
	21	19	29,5										
	22	20	29,5										
	23	21	29,5										
	24	22	29,5										
	25	23	29,5										
	26	24	29,5										
	27	25	29,5										
	28	26	29,5										
	29	27	29,5										
	30	28	29,5										
	31	29	29,5										
	32	30	29,5										
	33	31	29,5										
	34	32	29,5										
	35	33	29,5										
	36	34	29,5										
	37	35	29,5										
	38	36	29,5										
	39	37	29,5										
	40	38	29,5										
	41	39	29,5										
	42	40	29,5										
	43	41	29,5										
	44	42	29,5										
	45	43	29,5										
	46	44	29,5										
	47	45	29,5										
	48	46	29,5										
	49	47	29,5										
	50	48	29,5										
	51	49	29,5										
	52	50	29,5										
	53	51	29,5										
	54	52	29,5										
	55	53	29,5										
	56	54	29,5										
	57	55	29,5										
	58	56	29,5										
	59	57	29,5										
	60	58	29,5										
	61	59	29,5										
	62	60	29,5										
	63	61	29,5										
	64	62	29,5										
	65	63	29,5										
	66	64	29,5										
	67	65	29,5										
	68	66	29,5										
	69	67	29,5										
	70	68	29,5										
	71	69	29,5										
	72	70	29,5										
	73	71	29,5										
	74	72	29,5										
	75	73	29,5										
	76	74	29,5										
	77	75	29,5										
	78	76	29,5										
	79	77	29,5										
	80	78	29,5										
	81	79	29,5										
	82	80	29,5										
	83	81	29,5										
	84	82	29,5										
	85	83	29,5										
	86	84	29,5										
	87	85	29,5										
	88	86	29,5										
	89	87	29,5										
	90	88	29,5										
	91	89	29,5										
	92	90	29,5										
	93	91	29,5										
	94	92	29,5										
	95	93	29,5										
	96	94	29,5										
	97	95	29,5										
	98	96	29,5										
	99	97	29,5										
	100	98	29,5										
	101	99	29,5										
	102	100	29,5										
	103	101	29,5										
	104	102	29,5										
	105	103	29,5										
	106	104	29,5										
	107	105	29,5										
	108	106	29,5										
	109	107	29,5										
	110	108	29,5										
	111	109	29,5										
	112	110	29,5										
	113	111	29,5										
	114	112	29,5										
	115	113	29,5										
	116	114	29,5										
	117	115	29,5										
	118	116	29,5										
	119	117	29,5										
	120	118	29,5										
	121	119	29,5										
	122	120	29,5										
	123	121	29,5										
	124	122	29,5										
	125	123	29,5										
	126	124	29,5										
	127	125	29,5										
	128	126	29,5										
	129	127	29,5										
	130	128	29,5										
	131	129	29,5										
	132	130	29,5										
	133	131	29,5										
	134	132	29,5										
	135	133	29,5										
	136	134	29,5										
	137	135	29,5										
	138	136	29,5										
	139	137	29,5										
	140	138	29,5										
	141	139	29,5										
	142	140	29,5										
	143	141	29,5										
	144	142	29,5										
	145	143	29,5										
	146	144	29,5										
	147	145	29,5										
	148	146	29,5										
	149	147	29,5										
	150	148	29,5										
	151	149	29,5										
	152	150	29,5										
	153	151	29,5										
	154	152	29,5										
	155	153	29,5										
	156	154	29,5										
	157	155	29,5										
	158	156	29,5										
	159	157	29,5										
	160	158	29,5										
	161	159	29,5										
	162	160	29,5										
	163	161	29,5										
	164	162	29,5										
	165	163	29,5										
	166	164	29,5										
	167	165	29,5										
	168	166	29,5										
	169	167	29,5										
	170	168	29,5										



PRØVEÅPNING

PROSJEKTIDENT.

PROSJEKTNAMN

Vikabukta

105920n, DYBDE 3-4

LAB.NR. 3

BESKRIVELSE	PRØVE NR.	BEGER NR.	W %	W _p %	W _r %	UFORSTYRE KN/m ²	KONUS			TRYKKFORSØK kN/m ²	γ kN/m ³	γ _s kN/m ³
							OMRØRT KN/m ²	S _t	UFIRST. kN/m ²	ε _f %		
Skjellrost	10	15	26,8			57,0	20,5	3				
Skjellrost	20	16	31,5									
Skjellrost	30	17	26,7									
Skjellrost	40	18	31,7									
Skjellrost	50	19	30,1									
Skjellrost	60	20	33,0									
Skjellrost	70	21	29,8									
												80 cm



PRØVEÅPNING

PROSJEKTIDENT. 9050/20m v PROSJEKTNAMN Vihælvle
 BORING NR. 4-S22 DYBDE 4-5 m LAB.NR. 4

BESKRIVELSE	PRØVE NR.	BEGER NR.	W %	W _s %	W _r %	UFORSTYRR kN/m ²	OMRØRT kN/m ²	KONUS		TRYKKFORSØK kN/m ²	γ kN/m ³	γ _s kN/m ³
								UFORST. kN/m ²	S _t	UFORST. kN/m ²	ε _f %	
skjellrasato	10	22	263			59,5	18,0	3	40	10,0	70,7	9,55
skjellrasato	20	23	31,7									
skjellrasato	30	24	30,4									
skjellrasato	40	25	26,5									
luftholma	50	26	27,0									
skjellrasato	60	27	29,8									
luftholma	70	28	31,7									



PRØVEÅPNING

PROSJEKTIDENT.	L111	PROSJEKTNAMN	<u>Lika brukt</u>
BORING NR.	<u>9030/20m</u>	DYBDE	<u>5-6m</u>
		LAB.NR.	<u>5</u>



PRØVEÅPNING

PROSJEKTIDENT. Gosokromv PROSJEKTNAMN Vika bruksta
BORING NR. 6 DYBDE 6-7m LAB.NR. 6

BESKRIVELSE	PRØVE NR.	BEGER NR.	W %	W %	W %	KONUS			TRYKKFORSØK	γ kN/m³	δ _s kN/m³
						UFORSTYRR KN/m²	OMRØRT KN/m²	S _t kN/m²			
	10	36	35,5'								
	20	37	31,6								
	30	38	29,5'								
	40	39	30,1								
	50	40	29,3								
	60	X	11								
S _r /f											
Skjellrestar											
Skjellrestar											
	70										
	80 cm										

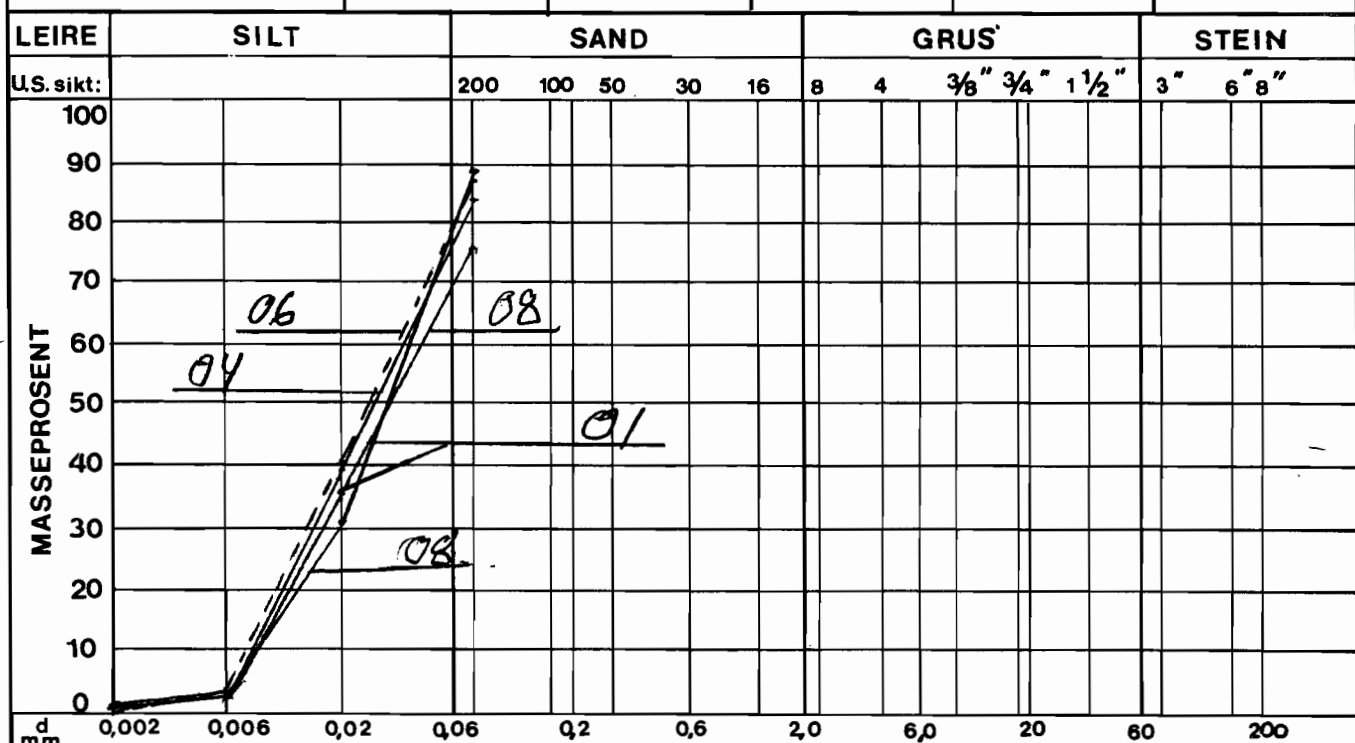
S_r/f
Skjellrestar
Skjellrestar



PROVÅPNING

BORING NR. 9059/20m DYBDE 9-10 m LAB.NR. 8

Dato:											
<u>16.04.86</u>		04.04.86		15.04.86		05.04.86					
Törr próve for vätsikt g	200,5		176,9		226,2		226,8				
Törket sikterest g	99,1		27,7		29,1		29,4				
Gjennom vätsiktet g	151,4		149,2		197,1		202,4				
U.S. sikt nr.	Maskevidde mm	Sum sikterest g		Sum sikterest %		Sum sikterest g		Sum sikterest %		Sum sikterest g	
6"	152,4										
3"	76,2										
1 1/2"	38,1										
3/4"	19,1										
3/8"	9,52										
4	4,76										
8	2,38										
16	1,19										
30	0,59										
50	0,297										
100	0,149										
200	0,074										
<200											
Gjennom vätsiktet	151,4	75,5	149,2	84,3	197,1	87,1	202,4	89,2			
Sum	200,5	100	176,9	100	226,2	100	226,8	100			
Dmax. mm											
Anmerk:											



KORNFORDELING:

Utf.

V. kbrukta

OPPTEGNING AV UNDERSØKELSER

SYMBOLER

- IN SITU PERMEABILITETS-MÅLING
- DREIESONDERING
- ▽ TRYKKSØNDERING
- ▼ RAMSØNDERING
- ✖ FJELLKONTROLLBORING
- KJERNEBORING
- ◆ DREIETRYKKSMÅLING

NIVÅ OG DYBDER

3/80 ● 12,6 18,5

BORHULL NR 3.1980 TERRENGKOTE

USIKKER FJELLKOTE BORET DYBDE

4/80 ✖ 3,2 4,1+3,0

BORHULL NR 4.1980 BUNNKOTE

FJELLKOTE BORET DYBDE=BORET I FJELL

SEISMISK

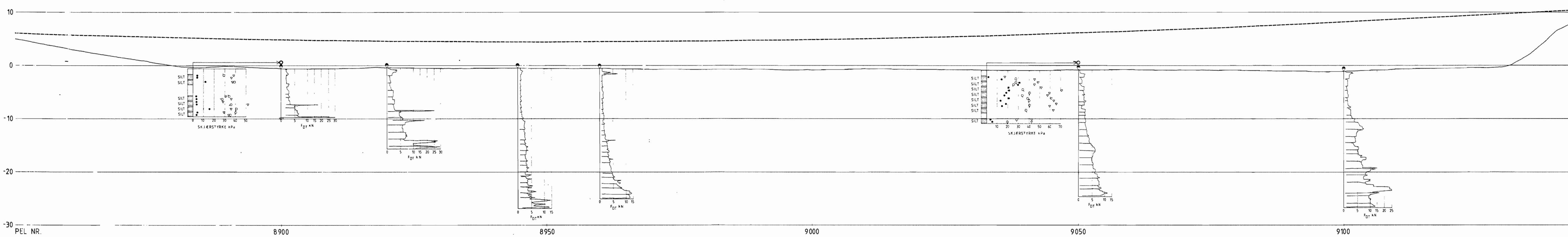
2,5 P/1/80 115 SEISMISK PROFIL NR. 1. 1980 MED LENGE-ANGIVELSE

REFERANSER

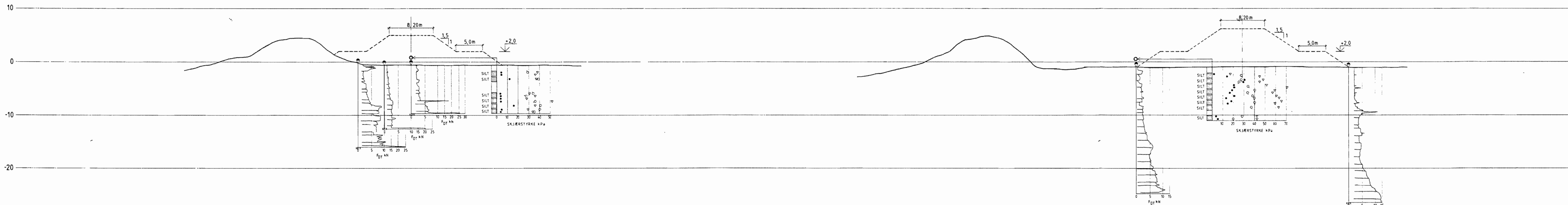
KART
NIVELLEMENT
UNDERLAG

FJELLANGER WIDERØE A/S

HELGELAND VEGAVDELING



LENGDEPROFIL CL RIKSVEG



REV/DERINGER GJELDER	REV	DATO SIGN
Rv. 810 UTBEDRING		
MALESTOKK		
TEGN:		
RESULTATER AV		
GRUNNUNDERSØKELSER	1:200	
KONTAKT:	T-2572	
GODK:	T-257-NP	
SAK NR:		
TEGN NR:		
REV:		

BERDAL
MATERIAL & BEHANDELING

1783